

境界層前縁からの距離と円柱洗掘の関係

神戸大学 正 崑 源亮
富士通3Dム 正〇 西田 青夫
日水エニシ 正 谷尻和彦

1. 答えがき

円柱まわりの局所洗掘に関してはすでに多くの実験がなされ、その最大洗掘深と流れの特性を示す水理諸元との関係はほぼ明らかになつてゐる。しかしながら、そのとき用ひる水理諸元はあくまで流れの平均的特性を示すものほとんどであり、流れの微視的特性による洗掘深の変化に関するほとんどの研究が今それくらいの現状である。

本研究では流れの微視的特性を変化させたため、境界層流れを作り、前縫からの距離と洗浄特性に関する実験を行った。

2. 実験装置

実験にあたり、 γ は水路を2層にし、完全な境界層流れを作り出した。その概略を図1に示す。
 境界層前線より22 cm, 97 cm, 125 cm, 240 cm の所にひいて洗掘深測定の実験を行った。七つの円柱径は2.6 mmで平均粒径 $d_{50} = 0.6 \text{ mm}$, $d_{50} = 1.0 \text{ mm}$ の2つにわけて実験した。
 また洗掘深測定部以外の水路床には実験に用いた粒径と同じ粒径の砂をはりつけた。流速分布の状態は $d_{50} = 0.6 \text{ mm}$ について測定したものと境界層外流速で無次元化し図2に示す。
 図2に示す流速分布は円柱の位置について、円柱を水路に設置しない場合のものであり、円柱を設置しない場合の流速センサーにより流れの状態が乱れるため行い、ではない。
 流速分布を測定した円柱を所定の位置に設置し、洗掘深を連続して洗掘開始後1時間後まで測定した。

3. 実験結果と考察

$d_{50} = 0.6 \text{ mm}$, $d_{50} = 1.0 \text{ mm}$ の砂を用ひて洗掘の時間変化とそれぞれ図3, 図4に示す。この結果は鈴木の結果¹⁾と同様になる。またこの圖に示す1時間後の洗掘深は著者らがすでに発表した結果²⁾と同じことを示していると考えられる。つぎに固定床にありて、絶圧と水位を円柱前面中央断面の 0.5 cm , 1.5 cm のところ測定したものスペクトルをそれぞれ図5, 図6に示す。この 0.5 cm 地点は馬蹄型渦が変動していふ範囲内で, 1.5 cm のところは馬蹄型渦の変動範囲外である。この二つの図より馬蹄型渦の変動に卓越周波数があることがわかる。この卓越周波数は Rouse の述べてある円柱の場合におけるストロハル数が 9.2 などと、絶圧; 水位を測定してときの流れの渦軸近傍の流速を用ひてカルマン渦の流出周波数と一致することがわかつた。このことは出力 500 mW のレーザ光を一方向に広げ円柱前面中央断面に接触することによる確認した。

つぎに先の渦軸の位置が変動した時の流れを上に述べたレーザ光を用いて、液中粒子を写真撮影したものより求めた流速分布図(図7, 図8)によると、流れも渦軸の変動にしたがって大きく変動していることがわかる。

これらのことより図3をその流速分布圖(圖2)より求めた河床近傍の平均流速を用いてカルエン褐の周波数を求め時間軸を無次元にしたものと圖1に示す。この圖より明らか

以局所流速の時間変化 - ピークは渦軸後部のカルマニ渦の周波数によって規定されることは考えられる。



図 1

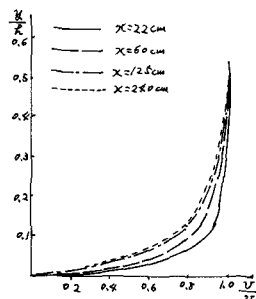


図 2

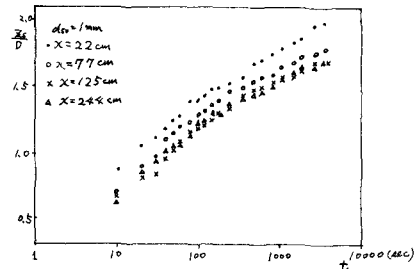


図 3

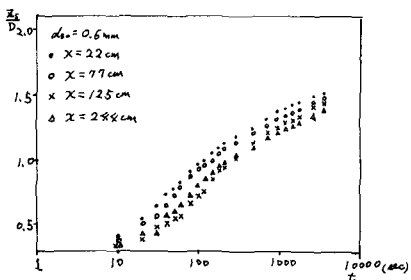


図 4

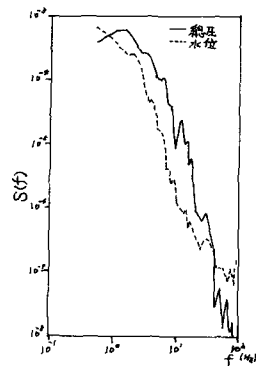


図 5

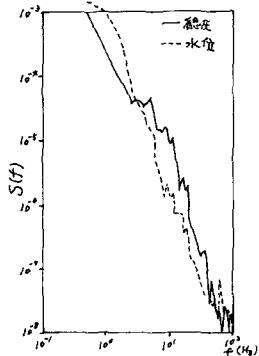


図 6

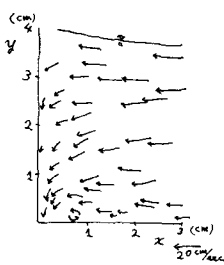


図 7

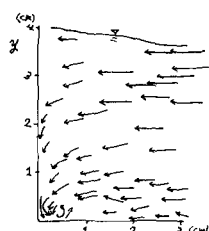


図 8

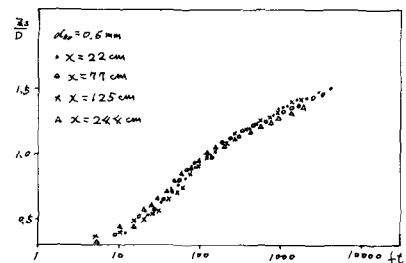


図 9

参考文献

- 1) 中川・鈴木：円柱構脚周辺における局所流速に関する実験的研究 関西年講 1971
- 2) 岩橋田西田：流れの変化による円柱周辺の乱れ 工学年講 1973
- 3) Roshko : Experiments on the flow past a circular cylinder at very high Reynolds number. Nov. 1960 Fluid Mechanics